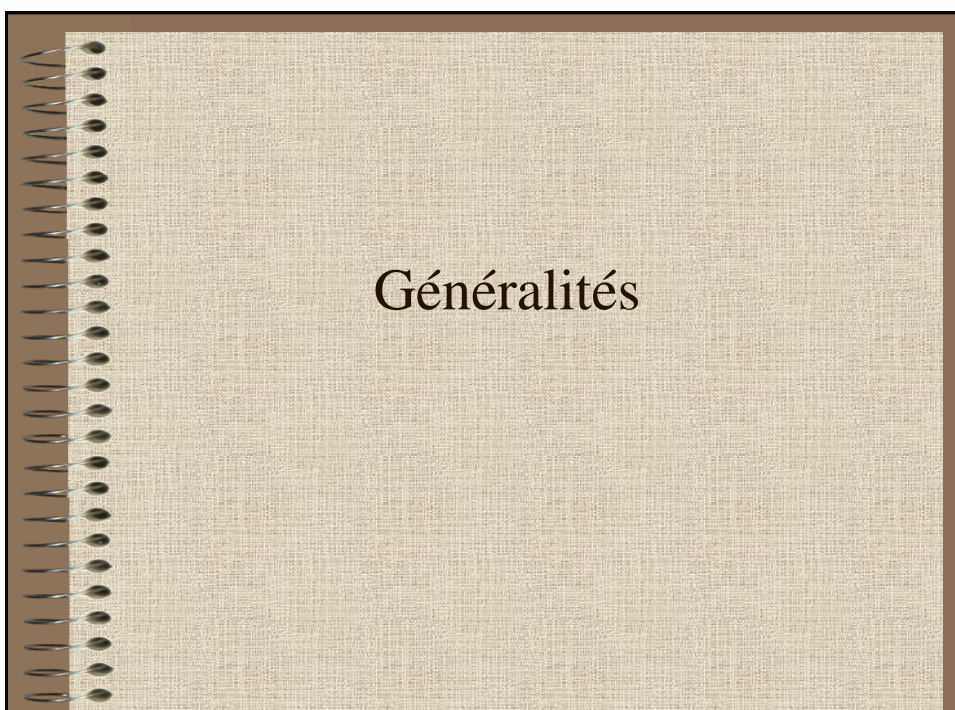


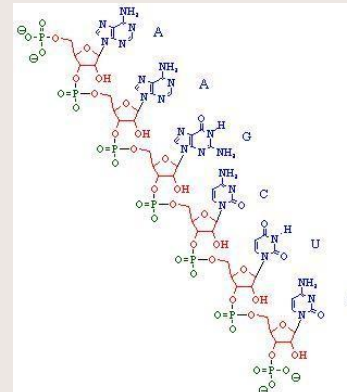
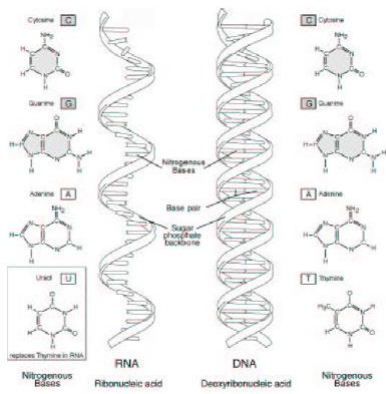
Un aperçu des méthodes de prédition de structure secondaire d'ARN.

Alain Denise 24/01/2011
Bioinformatique
IUT Informatique, Orsay



Généralités

L'ARN



Pourquoi l'ARN ?

- La seule molécule qui peut être génome aussi bien que catalyseur
- Origine de la vie : le monde à ARN
- Présente dans tous les processus cellulaires
- Cible très fréquente des antibiotiques

© E.Westhof 2005

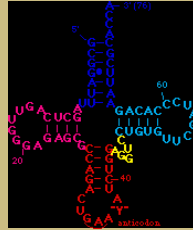
Structure de l'

Watson-Crick

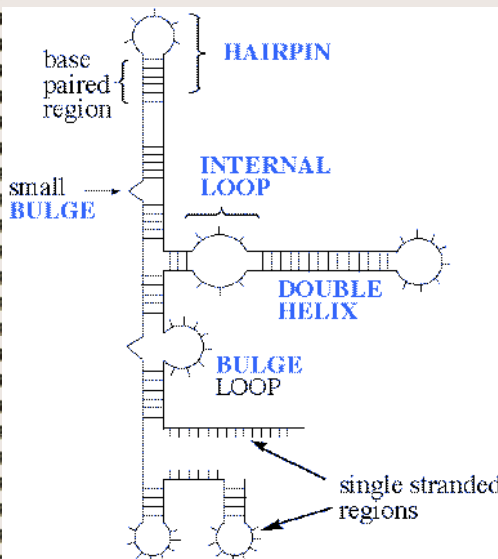
- Structure primaire

GCGGAUUUAGCUCAGUUGGGAGAGGCCAGACUGAAUAUCUGGAGGUCCUGGUUCGAUCCACAGAAUUCGCACCA

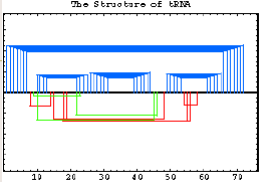
- Structure secondaire
- Structure tertiaire




Structures secondaires

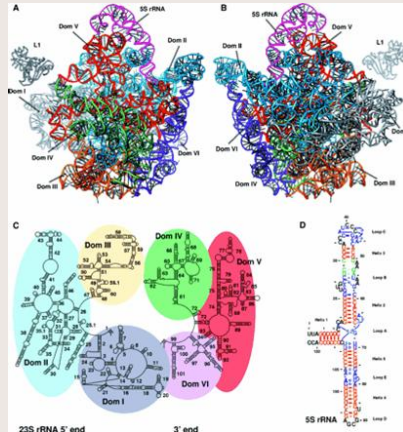
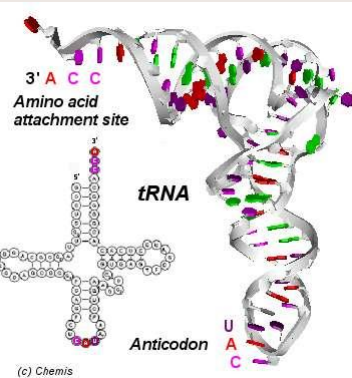


The Structure of tRNA



Pseudo-nœud

Structure de l'ARN



Problèmes informatiques

- Prédiction de structure en fonction de la séquence
- Détermination d'une séquence en fonction de la structure
- Détection de motifs structurels dans une séquence ou dans une structure
- Comparaison de deux ou plusieurs structures
- Recherche de sous-structures communes à deux ou plusieurs structures

Niveaux de structure de l'ARN

- primaire
- secondaire
- secondaire avec pseudo-noeuds
- tertiaire
- 3D

Deux types d'approches

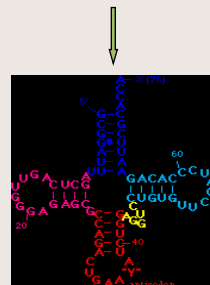
- Approches ab initio : une séquence
- Approches comparatives : plusieurs séquences
 - avec alignement préalable
 - sans alignement préalable

Approche ab initio

Prédiction de structure d'ARN

Séquence → Structure de plus faible énergie libre
(selon un modèle d'énergie donné)

GCGGAUUUAGCUCAGUUGGGAGAGCGCCAGACUGAAUAUCUGGAGGUCCUGUGUUCGAUCCCCACAGAAUUCGCCACCA



Modèle thermodynamique

10.2 RNA secondary structure prediction

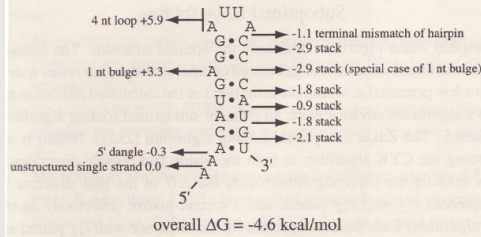


Figure 10.10 An example ΔG calculation for an RNA stem loop (the wild type R17 coat protein binding site).

Pour des structures secondaires sans pseudo-noeuds

Biological sequence analysis
Durbin, Eddy, Krogh, Mitchison
Cambridge Univ. Press 1998

Algorithme pour un modèle plus simple

Prédiction de structure

- sans pseudo-nœud,
- en maximisant le nombre de nucléotides appariés.

$\gamma(i,j) = \text{nombre d'appariements dans la structure entre les } i^{\text{ème}} \text{ et } j^{\text{ème}} \text{ nucléotides.}$

$\delta(i,j) = 1 \text{ si } i \text{ et } j \text{ sont appariables, 0 sinon.}$

Algorithme de Nussinov (1978)

The diagram shows four ways to construct the best structure between indices i and j , given the best structures between $i+1$ and $j-1$. Each structure is represented by a wavy line connecting nodes i , $i+1$, ..., $j-1$, j .

1. Structure where i and j are connected directly.
2. Structure where i connects to $j-1$ and $j-1$ connects to j .
3. Structure where $i+1$ connects to $j-1$ and i connects to j .
4. Structure where i connects to k and $k+1$ connects to j , with k between i and j .

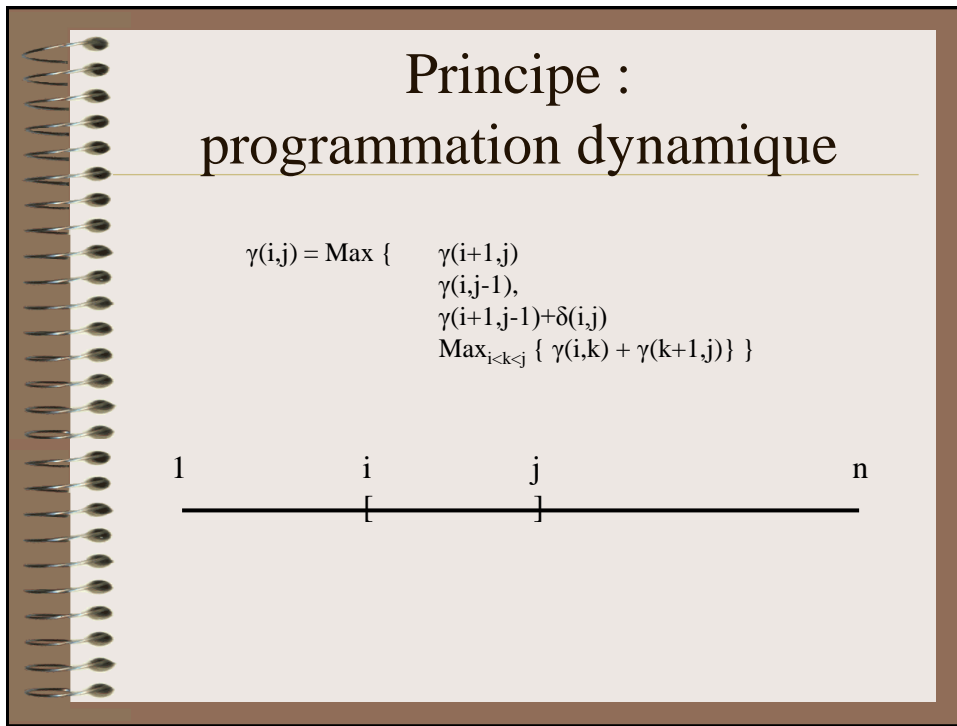
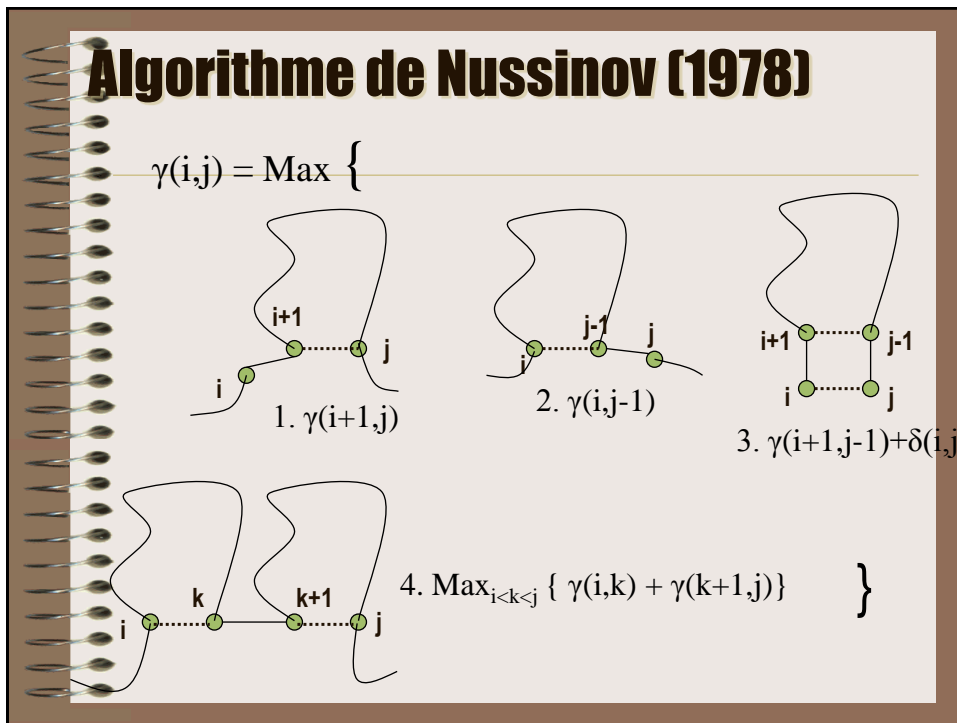
Les 4 façons possibles de construire la meilleure structure entre i et j , connaissant les meilleures sous-structures entre $i+1$ et $j-1$.

Algorithme de Nussinov (1978)

The diagram shows the same four ways to construct the best structure between indices i and j , given the best structures between $i+1$ and $j-1$.

1. Structure where i and j are connected directly.
2. Structure where i connects to $j-1$ and $j-1$ connects to j .
3. Structure where $i+1$ connects to $j-1$ and i connects to j .
4. Structure where i connects to k and $k+1$ connects to j , with k between i and j .

Attention, cette décomposition est ambiguë : plusieurs cas différents peuvent être valables simultanément. Il existe des décompositions non ambiguës pour le même problème





	C ₁	C ₂	G ₃	G ₄	C ₅	A ₆	U ₇	G ₈
C ₁	0	0						
C ₂	0	0						
G ₃		0	0					
G ₄			0	0				
C ₅				0	0			
A ₆					0	0		
U ₇						0	0	
G ₈							0	0

$\gamma(i,j) = \text{Max} \{ \quad \gamma(i+1,j)$
 $\gamma(i,j-1),$
 $\gamma(i+1,j-1)+\delta(i,j)$
 $\text{Max}_{i < k < j} \{ \gamma(i,k) + \gamma(k+1,j) \} \}$



	C ₁	C ₂	G ₃	G ₄	C ₅	A ₆	U ₇	G ₈
C ₁	0	0						
C ₂	0	0	1					
G ₃		0	0					
G ₄			0	0				
C ₅				0	0			
A ₆					0	0		
U ₇						0	0	
G ₈							0	0

$\gamma(i,j) = \text{Max} \{ \quad \gamma(i+1,j)$
 $\gamma(i,j-1),$
 $\gamma(i+1,j-1)+\delta(i,j)$
 $\text{Max}_{i < k < j} \{ \gamma(i,k) + \gamma(k+1,j) \} \}$

C₂ G₃



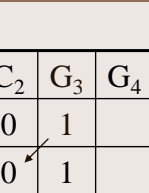
	C ₁	C ₂	G ₃	G ₄	C ₅	A ₆	U ₇	G ₈
C ₁	0	0						
C ₂	0	0	1					
G ₃		0	0	0				
G ₄			0	0	1			
C ₅				0	0	0		
A ₆					0	0	1	
U ₇						0	0	0
G ₈							0	0

$\gamma(i,j) = \text{Max} \{ \quad \gamma(i+1,j)$
 $\gamma(i,j-1),$
 $\gamma(i+1,j-1)+\delta(i,j)$
 $\text{Max}_{i < k < j} \{ \gamma(i,k) + \gamma(k+1,j) \} \}$



	C ₁	C ₂	G ₃	G ₄	C ₅	A ₆	U ₇	G ₈
C ₁	0	0	1					
C ₂	0	0	1					
G ₃		0	0	0				
G ₄			0	0	1			
C ₅				0	0	0		
A ₆					0	0	1	
U ₇						0	0	0
G ₈							0	0

$\gamma(i,j) = \text{Max} \{ \quad \gamma(i+1,j)$
 $\gamma(i,j-1),$
 $\gamma(i+1,j-1)+\delta(i,j)$
 $\text{Max}_{i < k < j} \{ \gamma(i,k) + \gamma(k+1,j) \} \}$







	C ₁	C ₂	G ₃	G ₄	C ₅	A ₆	U ₇	G ₈
C ₁	0	0	1					
C ₂	0	0	1					
G ₃			0	0	0			
G ₄				0	0	1		
C ₅				0	0	0		
A ₆					0	0	1	
U ₇						0	0	0
G ₈							0	0

$\gamma(i,j) = \max \{ \gamma(i+1,j), \gamma(i,j-1), \gamma(i+1,j-1) + \delta(i,j), \max_{i < k < j} \{ \gamma(i,k) + \gamma(k+1,j) \} \}$




	C ₁	C ₂	G ₃	G ₄	C ₅	A ₆	U ₇	G ₈
C ₁	0	0	1					
C ₂	0	0	1	1				
G ₃			0	0	0	1		
G ₄				0	0	1	1	
C ₅				0	0	0	1	
A ₆					0	0	1	1
U ₇						0	0	0
G ₈							0	0

$\gamma(i,j) = \max \{ \gamma(i+1,j), \gamma(i,j-1), \gamma(i+1,j-1) + \delta(i,j), \max_{i < k < j} \{ \gamma(i,k) + \gamma(k+1,j) \} \}$



	C ₁	C ₂	G ₃	G ₄	C ₅	A ₆	U ₇	G ₈
C ₁	0	0	1	2				
C ₂	0	0	1	1				
G ₃			0	0	1			
G ₄			0	0	1	1		
C ₅				0	0	0	1	
A ₆					0	0	1	1
U ₇						0	0	0
G ₈							0	0

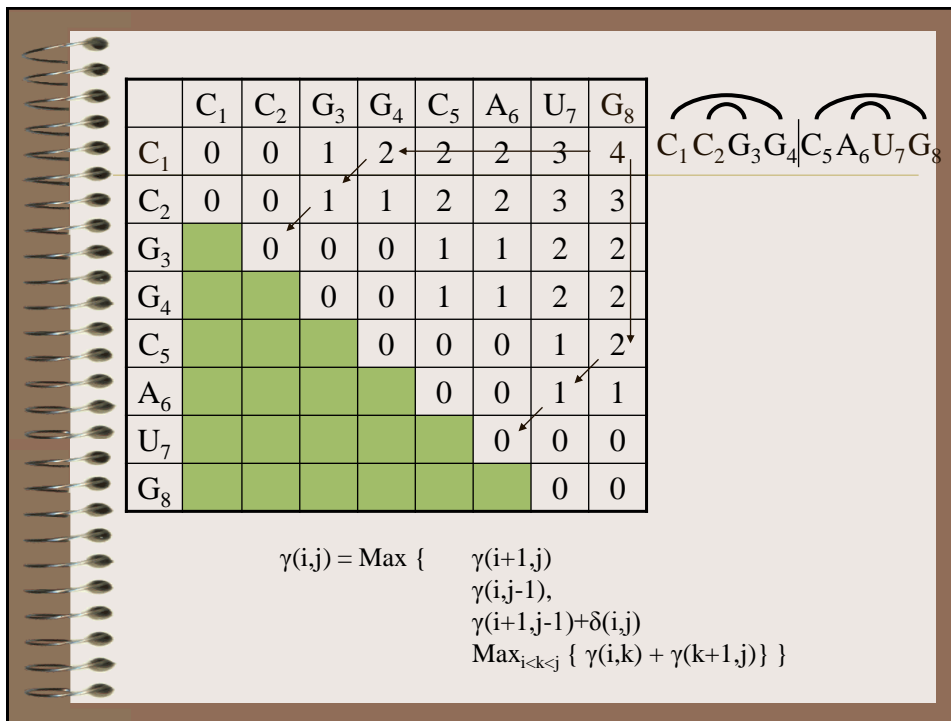
$\gamma(i,j) = \text{Max} \{ \quad \gamma(i+1,j)$
 $\gamma(i,j-1),$
 $\gamma(i+1,j-1)+\delta(i,j)$
 $\text{Max}_{i < k < j} \{ \gamma(i,k) + \gamma(k+1,j) \} \}$




	C ₁	C ₂	G ₃	G ₄	C ₅	A ₆	U ₇	G ₈
C ₁	0	0	1	2				
C ₂	0	0	1	1	2			
G ₃			0	0	1			
G ₄			0	0	1	1		
C ₅				0	0	0	1	
A ₆					0	0	1	1
U ₇						0	0	0
G ₈							0	0

$\gamma(i,j) = \text{Max} \{ \quad \gamma(i+1,j)$
 $\gamma(i,j-1),$
 $\gamma(i+1,j-1)+\delta(i,j)$
 $\text{Max}_{i < k < j} \{ \gamma(i,k) + \gamma(k+1,j) \} \}$





	C ₁	C ₂	G ₃	G ₄	C ₅	A ₆	U ₇	G ₈
C ₁	0	0	1	2 ←	2	2	3	4
C ₂	0	0	1	1	2	2	3	3
G ₃	0	0	0	0	1	1	2	2
G ₄		0	0	0	1	1	2	2
C ₅			0	0	0	0	1	2 ↓
A ₆				0	0	0	1	1
U ₇					0 ←	0	0	
G ₈						0	0	

$\gamma(i,j) = \text{Max} \{ \begin{array}{l} \gamma(i+1,j) \\ \gamma(i,j-1), \\ \gamma(i+1,j-1)+\delta(i,j) \\ \text{Max}_{i < k < j} \{ \gamma(i,k) + \gamma(k+1,j) \} \end{array} \}$

Algorithme de Zuker-Stiegler (1981)

- Modèle d'énergie plus réaliste (paramètres de Turner *et al.*)
- Même principe (programmation dynamique), avec deux matrices au lieu d'une.
- Structures secondaires toujours sans pseudonoeuds.

Un essai : RNAfold (algo Zuker-Stiegler)

```
>Artibeus jamaicensis, True Structure, tRNA Alanine
AAGGGCTTAGCTTAATTAAAGTAGTTGATTGCATTCAAGCAGCTGTAGGATAAAAGTCTTCAGTCCTTA
(((((((.....))).(((((.....))))....(((.....)))))))..
>Artibeus jamaicensis, RNAFold
AAGGGCTTAGCTTAATTAAAGTAGTTGATTGCATTCAAGCAGCTGTAGGATAAAAGTCTTCAGTCCTTA
((((((.(((.(((.(((.(((.(((.....))))..))....))))..))....))).).

>Balaenoptera musculus, True Structure
GAGGATTAGCTTAATTAAAGTGTTGATTGCATTCAATTGATGTAAGATATAGTCTTCAGTCCTTA
((((((.(((.(((.....))).(((((.....))))....(((.....))))))).).
>Balaenoptera musculus, RNAFold
GAGGATTAGCTTAATTAAAGTGTTGATTGCATTCAATTGATGTAAGATATAGTCTTCAGTCCTTA
((((((.(((.(((.(((.(((.....))))..)).....(((.(((.(((.))))))).))))..

>Bos taurus, True Structure
GAGGATTAGCTTAATTAAAGTGTTGATTGCATTCAATTGATGTAAGGTGAGTCTTCAGTCCTTA
((((((.(((.(((.....))).(((((.....))))....(((.....))))))).)).
>Bos taurus, RNAFold
GAGGATTAGCTTAATTAAAGTGTTGATTGCATTCAATTGATGTAAGGTGAGTCTTCAGTCCTTA
((((.(((.(((.(((.(((.....))))..)).....(((.(((.(((.))))))).).))))..
```

Approche comparative

Avec alignement préalable des séquences

Détection des covariations

i j
GCCUUCGG**GC**
GACUUCGG**UC**
GGCU-CGG**CC**

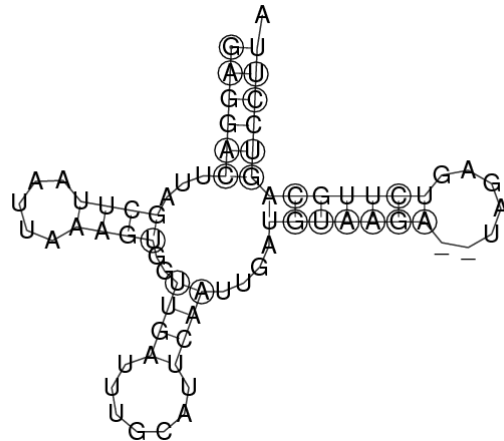
RNA-Alifold (Hofacker et al. 2000)

RNAz (Washietl et al. 2005)

Application : tRNA Alanine

```
>Artibeus jamaicensis
AAGGGCTTAGCTTAATTAAAGTAGTTGATTGCATTCAAGCAGCTGTAGGATAAAAGTCTTGCAAGTCCTTA
>Balaenoptera musculus
GAGGATTAGCTTAATTAAAGTAGTTGATTGCATTCAATTGATGTAAGATATAAGTCTTGCAAGTCCTTA
>Bos taurus
GAGGATTAGCTTAATTAAAGTAGTTGATTGCATTCAATTGATGTAAGATATAAGTCTTGCAAGTCCTTA
>Canis familiaris
GAGGGCTTAGCTTAATTAAAGTAGTTGATTGCATTCAATTGATGTAAGATAGATTCTTGCAAGCCCTTA
>Ceratotherium simum
GAGGGTTAGCTTAATTAAAGTAGTTGATTGCATTCAATTGATGTAAGATAGAGTCTTGCAAGCCCTTA
>Dasypus novemcinctus
GAGGACTTAGCTTAATTAAAGTAGCTGATTGCGTTCAAGGAGATGTGGGCTAAATCTTGCAAGTCCTTA
>Equus asinus
AAGGGCTTAGCTTAATTAAAGTAGTTGATTGCGTTCAATTGATGTAAGATAGAGTCTTGCAAGTCCTTA
>Erinaceus europaeus
GAGGATTAGCTTAATTTAAAAAGTAGTTGATTGCGTTCAATTGATGAGATAGAGTCTTGCAAGTCCTTA
>Felis catus
GAGGACTTAGCTTAATTAAAGTAGTTGATTGCAATTGATGTAAGATAGATTCTTGCAAGTCCTTA
>Hippopotamus amphibius
AGGGACTTAGCTTAATTAAAGCAGTTGAGTTGCAATTGATGAGGTGCGGTCTTGCAAGTCCTTA
>Homo sapiens
AAGGGCTTAGCTTAATTAAAGTAGCTGATTGCGTTCAAGTGTAGGAGGTGGGGTTTGCAAGTCCTTA
```

RNA-alifold



Application : tRNA *H.sapiens*

```

>Homo sapiens Arg, True Structure
TGGTATATAGTTAACAAAACGAATGATTGACTCATTAAATTATGATAATCATATTTACCAA
((((((.....)).(((((.....))))....(((....)))))))..

>Homo sapiensArg
TGGTATATAGTTAACAAAACGAATGATTGACTCATTAAATTATGATAATCATATTTACCAA
>Homo sapiensAsn
TAGATTGAAGCCAGTTGATTAGGGTGCTAGCTTAACTAAGTGTGTTAGGGTTAACGCTTAG
>Homo sapiensAsp
AAAGTATTAGAAAAACCATTTCATAACTTGTCAAAGTTAAATTATAGGCTAACCTATATCTTA
>Homo sapiensCys
AGCTCCGAGGTGATTTCATATTGAATTGAAATTCAAGAAGCAGCTTCAACCTGCCGGGCTT
>Homo sapiensGln
TAGGATGGGTGTTGATAGGTGGCACGGAGAATTGGATTCTCAGGGATGGGTCGATTCTCATAGTCCTAG
>Homo sapiensGlu
GTTCTTGTAGTTGAAATACAACGATGGTTTCATATCATTTGCGGGTTGAGTCCGTGCGAGAATA
>Homo sapiensGly
ACTCTTTAGTATAATAGTACCGTTAACCTCAATTAACTAGTTTGACAACATTCAAAAAAGAGTA
>Homo sapiensHis
GTAAATATAGTTAACAAAACATCAGATTGTGAATCTGACAACAGAGGCTTACGACCCCTTATTTACC
>Homo sapiensIso
AGAAATATGCTGATAAAAGAGTTACTTGATAGAGTAAATAATAGGAGCTTAAACCCCTTATTTCTA
>Homo sapiensLeuCun
ACTTTAAAGGATAACAGCTATCCATTGGTCTTAGGCCAAAAATTGGTCAACTCCAAATAAAAGTA

```

Alignment ClustalW

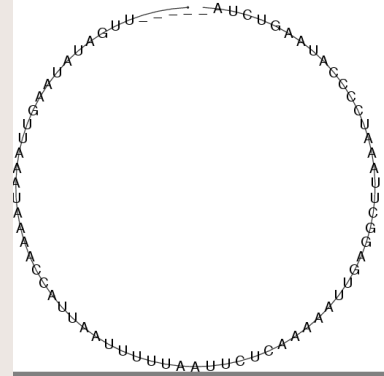
CLUSTAL 2.0.1 multiple sequence alignment

```

Homo1 ---TGGTATATAGTTAACAAACGAATGATTTCGACTCATTAATTATGATAATCATA 57
Homo7 ---ACTCTTTAGTATAAATAGTACCGTTAACCCAATTAACTAGTTTGACAAC---A 54
Homo3 ---AAGGTATTAGAAAAAACCAATTTCATAACTTGTCAAAGTTAA-ATTATAGGCTAA-- 53
Homo8 ---GTAATAT-AGTTAACAAAACATCAGATTGTGAATCTGAC-AACAGAGGCTTACG 55
Homo9 ---AGAAATATGTCTGATAAAAGAGTTACTTGTAGAGATAAAATAGGAGCTTAAA 55
Homo6 ---GTCCTTGAGTTGAAATACACGATGGTTTTCA-TATCATTTGCTGGTTGTAG 55
Homo5 TAGATGGGGTGTGATAGGTGGCACGGAGAATTGGATTCTCAGGGAT---GGGTTCGA 57
Homo2 TAGATTGAACCCAGTTGATTAGGGTGCCTAGCTGTTAA--CTAAGTGTGTTGGTTAA 58
Homo10 ---ACTTTAACGATAACAGCTATCCATTGGCTTAGGCCAAAATTGGTGCAC 57
Homo4 ----AGCTCCAGGTGATTTCATATTGAATTGCAAATTGCAAGAAGC---AGCTTCAA 52
*
Homo1 TTTACCAA----- 65
Homo7 TTCAAAAAGAGTA- 68
Homo3 ATCCATATATCTTA 68
Homo8 ACCCCTTATTCTAC- 69
Homo9 CCCCTTATTCTA- 69
Homo6 TCCGTGCGAGATA- 69
Homo5 TTCTCATAGTCCTAG 72
Homo2 GTCCCATTTGCTAG 73
Homo10 TCCAATAAAAGTA- 71
Homo4 ACCTGCCGGGGCTT- 66

```

RNA-Alifold



Approche comparative

Sans alignement préalable des séquences

Approches

- Algorithmes « à la Sankoff » (Sankoff 1985)
 - Foldalign (Gorodkin, Heyer, Stormo 1997, Havgaard, Lyngso, Stormo, Gorodkin 2005)
 - Dynalign (Mathews, Turner 2002)
- Approches heuristiques :
 - Exemple : CARNAC (Perriquet, Touzet, Dauchet 2003)

Pincipe de l'algo de Sankoff : prog. dynamique (encore!)

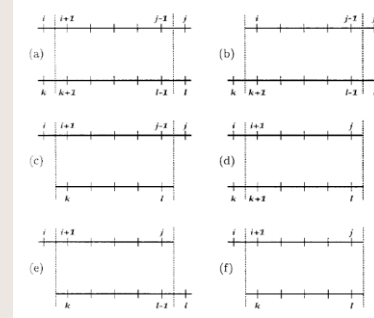
- Entrée : plusieurs séquences
- Paramètres : matrice de score d'alignement de couples de nucléotides, $S_{ij,kl}$
- Sortie : un alignement et une structure secondaire commune

Algo simplifié : Foldalign 1997

- Pas de structures multibranchées
- Le score de la structure dépend du nombre de paires de bases.

Algo simplifié : Foldalign 1997

$$D_{j,k,l} = \max \begin{cases} D_{(i+1)l(j-1), (k+1)(l-1)} + S_{j,k,l}, & (a) \\ D_{i(j-1), k(k+1)(l-1)} + S_{j,k,l}, \\ D_{(i+1)l(j-1), k(l-1)} + S_{j,-k,l}, & (b) \\ D_{(i+1)l(j-1), k(l+1)} + S_{j,k,-l}, \\ D_{i(j-1), k(l+1)} + S_{j,k,-l}, \\ D_{(i+1)l(j-1), k(l-1)} + S_{j,-k,-l}, & (c) \\ D_{i(j-1), k(l-1)} + S_{j,-k,-l}, \\ D_{(i+1)l(j-1), k(l-1)} + S_{j,-k,l}, & (d) \\ D_{i(j-1), k(l-1)} + S_{j,-k,l}, \\ D_{(i+1)l(j-1), k(l+1)} + S_{j,-k,l}, & (e) \\ D_{i(j-1), k(l+1)} + S_{j,-k,l}, \\ D_{i(j-1), k(l-1)} + S_{j,-k,-l}, & (f) \\ D_{i(j-1), k(l-1)} + S_{j,-k,-l}, \\ D_{i(j-1), k(l-1)} + S_{j,-k,-l}, \\ D_{i(j-1), k(l-1)} + S_{j,-k,-l}, \\ D_{i(j-1), k(l-1)} + S_{j,-k,-l} \end{cases}$$



Une approche heuristique : Carnac

- Recherche des tiges-boucles candidates dans chaque séquence, indépendamment
- Recherche de « points d’ancrage » : régions très conservées entre les 2 séquences
- Sélection des tiges « alignables »
- Repliement simultané « à la Sankoff » de chaque paire de tiges alignables

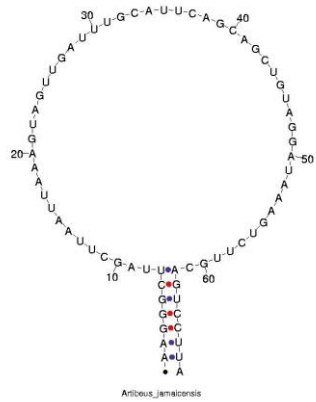
Application : tRNA Alanine

```
>Artibeus jamaicensis
AAGGGCTTAGCTTAATTAAAGTAGTTGATTGCATTCAAGCAGCTGTAGGATAAAAGTCTTCAGTCCTTA
>Balaenoptera musculus
GAGGATTAGCTTAATTAAAGTAGTTGATTGCATTCAATTGATGTAAGATATAGTCTTCAGTCCTTA
>Bos taurus
GAGGATTAGCTTAATTAAAGTAGTTGATTGCATTCAATTGATGTAAGGTAGTCTTCAGTCCTTA
>Canis familiaris
GAGGGCTTAGCTTAATTAAAGTAGTTGATTGCATTCAATTGATGTAAGATAGATTCTTCAGCCCTTA
>Ceratotherium simum
GAGGGTTAGCTTAATTAAAGTAGTTGATTGCATTCAAGTGTGTAAGATAGAGTCTTCAGCCCTTA
>Dasypus novemcinctus
GAGGACTTAGCTTAATTAAAGTGCTGAGGTGCGTTCAGGAGATGTGGGGCTAAATCTTCAGTCCTTA
>Equus asinus
AAGGGCTTAGCTTAATGAAAGTAGTTGATTGCAGTTCAATTGATGAGATAGAGTCTTCAGTCCTTA
>Erinaceus europaeus
GAGGATTAGCTTAATTAAAGTAGTTGATTGCATTCAATTGATGTAAGATAGAAATATAATCTTGTAATCCTTA
>Felis catus
GAGGACTTAGCTTAATTAAAGCAGTTGAGGTGATTGCATTCAATTGATGTAAGATAGAGTCTTCAGTCCTTA
>Hippopotamus amphibius
AGGGACTTAGCTTAATTAAAGCAGTTGAGGTGATTGCATTCAATTGATGAGGTGCGGTCTTCAGTCCTTA
>Homo sapiens
AAGGGCTTAGCTTAATTAAAGTAGCTGAGGTGATTGCAGTTCAATTGATGTAAGAGTGGGGTTTCAGTCCTTA
```

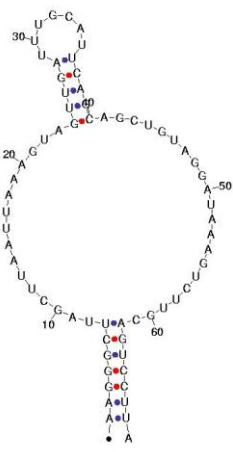
Foldalign : pas plus de 2 séquences

```
>Artibeus jamaicensis
AAGGGCTTAGCTTAATTAAAGTAGTTGATTGCATTCAAGCAGCTGTAGGATAAAAGTCTTCAGTCCTTA
>Balaenoptera musculus
GAGGATTAGCTTAATTAAAGTAGTTGATTGCATTCAATTGATGTAAGATATAGTCTTCAGTCCTTA
Artibeus
AGGGCUUAGCUUAAUUAACGUAGUUGAUUUCGUUUCAGCAGCUGUAGGAUAAAACGUUCUUGCAGUCCUA
Structure
((((...(((.....))))...((.....))))...((((.....)))))))...))...
Balaenoptera
AGGAUUUAGCUUAAUUAACGUUUUCGUUUCGUUCAAUUCAAUUGAUAGAUAAAACGUUCUUGCAGUCCUA
```

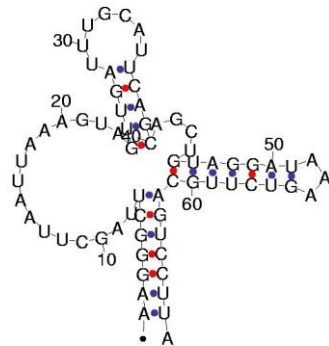
Carnac - 3 séquences



Carnac - 6 séquences



Carnac - 11 séquences



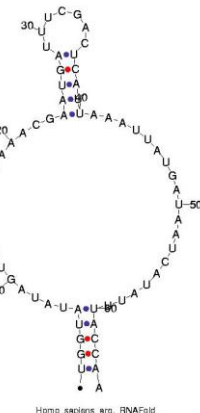
Arribus_jamaicensis

Application : tRNA *H.sapiens Arg*

```
>Homo sapiens Arg, True Structure
TGGTATATAGTTAACAAAACGAATGATTGACTCATTAAATTATGATAATCATATTTACCAA
((((((.....))).(((((.....))))....(((.....))))..))).

>Homo sapiensArg
TGGTATATAGTTAACAAAACGAATGATTGACTCATTAAATTATGATAATCATATTTACCAA
>Homo sapiensAsn
TAGATTGAAGCCAGTTGATTAGGGTGCTTAGCTTAACTAAGTGTGTTAGGGTTAACGCCATTGGTCTAG
>Homo sapiensAsp
AAAGTATTAGAAAAACCATTTCTAACTTTGTCAAAGTTAAATTATAGGCTAAATCCTATATATCTTA
>Homo sapiensCys
AGCTCCGAGGTGATTTCATATTGAATTGCAATTGAAAGAAGCAGCTTCACCTGCCGGGCTT
>Homo sapiensGln
TAGGATGGGTGTTGATAGGTGGCACGGAGAATTGGATTCTCAGGGATGGGTTGATTCTCATAGTCCTAG
>Homo sapiensGlu
GTTCTTGTAGTTGAAATAACACGATGGTTTCATATCATTTGCGGGTTGAGTCCGTGCGAGAATA
>Homo sapiensGly
ACTCTTTAGTATAATAGTACCGTTAACCTCAATTAACTAGTTTGACAACATTCAAAAAAGAGTA
>Homo sapiensHis
GTAAATATAGTTAACAAAACATCAGATTGTAATCTGACAACAGAGGCTTACGACCCCTTATTTACC
>Homo sapiensIso
AGAAATATGCTGATAAAAAGAGTTACTTGATAGAGTAAATAATAGGAGCTTAAACCCCTTATTTCTA
>Homo sapiensLeuCun
ACTTTAAAGGATAACAGCTATCCATTGGTCTTAGGCCAAAAATTGGTCAACTCCAAATAAAAGTA
```

Carnac - 10 séquences



Homo_sapiens_arg_RNAFold